

تعیین پارامترهای مؤثر در شناخت جنس نمونه ناشناخته با پرتونگاری همزمان نوترون و گاما

محمد مهدی ناصری و گیومرث کمالی مقدم

مرکز تحقیقات هسته‌ای

سازمان انرژی اتمی ایران

چکیده

در پرتونگاری‌های رایج در صنعت و پزشکی توجه چندانی به جنس جسم مورد آزمایش نمی‌شود. عموماً دیدن طرز قرارگیری و شکل هندسی قسمت‌های مختلف درون جسم و یا مطالعه نقصها، شکستگیها، ترک‌ها و مانند اینها عمدۀ اهدافی هستند که در آزمون پرتونگاری موردنظر پرتونگارها می‌باشند؛ و حال آنکه علاوه براین جنبه‌ها می‌توان عوامل متعدد دیگری مانند نوع پرتو، انرژی و طیف آن، سطح مقطع‌ها برای انواع برخوردها و پدیده‌های پراکنده‌گی، جذب پرتوها و غیره را نام برد که دارای اهمیت می‌باشند. در این مقاله سعی شده است در زمینه پرتونگاری نوترونی به این‌گونه جنبه‌هایی پرداخته شود. در این مطالعه، به یاری روش ابتکاری پرتونگاری همزمان نوترون - گاما و یک رشته اندازه‌گیری، با استفاده از روابط ریاضی استخراج شده، راهی برای دستیابی به شناخت جنس جسم پیدا شده است.

مواد دیگر آسان است. اما در مورد پرتوهای نوترونی،

مقدمه

به علت متفاوت بودن ماهیت برهمکنش آن با ماده میزان عبور آن از جسم، به سطح مقطع‌های جذب و پراکنده‌گی بستگی دارد. در این مورد قاعده خاصی وجود ندارد ولی عناصری که عدد اتمی آنها پایین است پرتو نوترونی را بیشتر پراکنده می‌سازند. در یک پرتونگاشت معمولی بجز شکل هندسی جسم و چگالی اپتیکی در نقاط مختلف فیلم، اطلاعات دیگری از قبیل جنس ماده، ضخامت جسم، میزان پرتوهای پراکنده شده، انرژی مؤثر پرتو به هنگام عبور از مواد، مقدار فاکتور تولید و انباست^۱ و

پرتونگاری با پرتوهای نوترون و گاما به عنوان روش آزمون غیرمخرب کاربرد وسیعی در زمینه‌های مختلف پیدا کرده است. نوع جسم، و امکانات پرتونگاری قابل دسترس، موارد عمدۀ ای هستند که در انتخاب روش پرتونگاری مناسب حائز اهمیت می‌باشند. علاوه براین وضوح تصویر نیز تابع بسیاری از پارامترها، به ویژه برهمکنش نمونه با پرتو تابیده شده است.

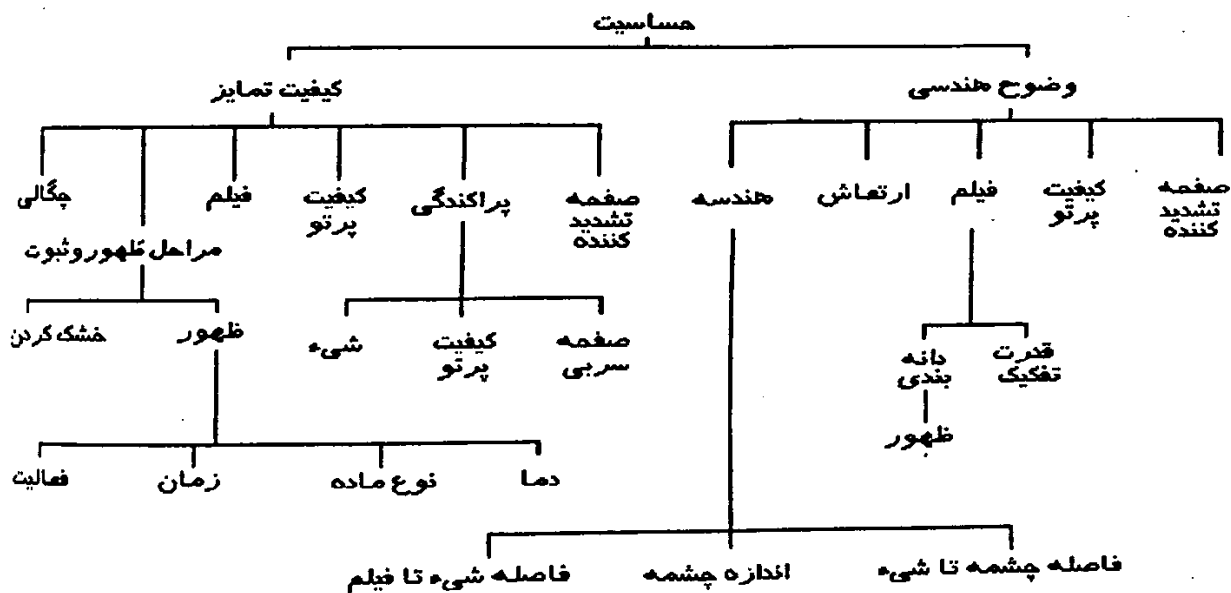
عناصر سنگین با عدد اتمی بالا عموماً مقاومت زیادی در برابر پرتوهای فوتونی (ایکس و گاما) از خود نشان می‌دهند. بنابراین تشخیص این مواد در داخل

۱- Build up factor

روش تجربی و ثابت نگهداشت آنها، برای یافتن پارامترهای مهم دیگر از قبیل سطح مقطعهای عناصر موجود در نمونه، ضخامتها، مقادیر فاکتور تولید و انباست و ... کوشش کرد.

میزان اثر هر پرتو بر روی فیلم را نمی‌توان بدست آورد.

بنابراین با توجه به پارامترهای مؤثر در آزمون پرتونگاری که در نمودار ۱ تنظیم شده‌اند [۴] می‌توان با بدست آوردن مقادیر تعدادی از آنها به



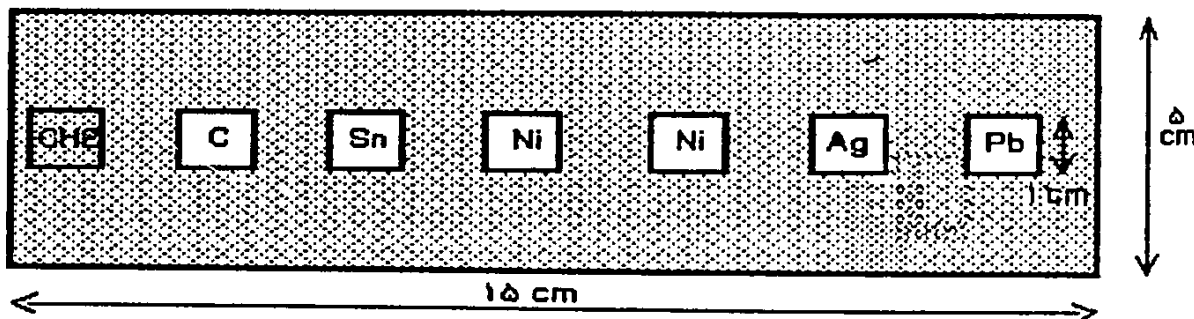
نمودار ۱ - عوامل مؤثر در کیفیت تشکیل یک پرتونگاری

با بدست آوردن بعضی از پارامترهای موردنیاز دیگر از راه تجربی و با شرایط یکسان موفق به نوشتن روابط ریاضی شده‌ایم که توسط آنها محاسبه تقریبی سطح مقطعهای عناصر موجود (وبه دنبال آن شناخت عناصر تشکیل دهنده نمونه) و همچنین محاسبه فاکتور تولید و انباست امکان پذیر شده است.

در این کار سعی شده است که پارامترهایی مانند نوع فیلم، شرایط ظهور و ثبوت، نوع تشیدکننده‌ها، نوع مبدل‌های مورد استفاده، شرایط هندسی و توان چشمیه تابش در همه موارد ثابت نگهداشت شوند تا باعث ایجاد خطأ و اختلاف در نتایج بدست آمده نگرددند. بدین ترتیب، با تثبیت این پارامترها توانسته‌ایم به بررسی پارامترهای دیگر بپردازیم.

عناصر انتخابی را حتی الامکان با درجه خلوص بالا تهییه کرده‌ایم. ضخامت هر یک از این مواد یک سانتیمتر است و می‌توان آنها را در داخل دو قالب پلی‌اتیلنی و سربی مطابق شکل ۱ قرار داد.

روش کار با توجه به امکانات پرتونگاری موجود (دستگاه نوترون رادیوگرافی نصب شده در رآکتور تحقیقاتی تهران) فانتومی مشکل از مواد سرب - نقره - مس - نیکل - قلع - گرافیت - پلی‌اتیلن طراحی شد.



شکل ۱- قالب ساخته شده از جنس پلی‌اتیلن (یا سرب) و هفت جسم قرار داده شده در آن

(به علت عرض تابش دهی محدود فیلم) نباید داشته باشد
۴- ضخامت اجسام به اندازه‌ایست که از فاکتور تولید و انباست نمی‌توان صرف‌نظر کرد
۵- در اطراف دستگاه پراکندگی پرتوها وجود دارد
۶- چگالی فیلم پرتونگاری در زمانهای تابش دهی متفاوت، مقادیر متفاوتی (به دلیل وجود پراکندگی و خاصیت جمع پذیری پرتوها) از خود نشان می‌دهد
عوامل کمابیش مؤثر دیگری نیز وجود دارند که، به علت طولانی شدن مطلب، از ذکر آنها خودداری می‌شود [۱].

با در نظر گرفتن رابطه $I = I_0 \cdot Be^{-\Sigma x}$ ، که هم می‌توان آن را برای پرتوهای نوترونی (Σ سطح مقطع ماکروسکوپیکی کل نوترون حرارتی) و هم پرتوهای گاما (ضریب کل تضعیف خطی گاما) بکار برد. موارد زیر به هنگام کار با این دستگاه مورد توجه قرار گرفته‌اند [۳]:
۱- سطح تابش در این دستگاه بهن می‌باشد
۲- در برتو خروجی هم نوترون حرارتی و هم پرتو گاما بالانرژی متوسط $1/5$ Mev وجود دارد
۳- سطح مقطعهای جذب و پراکندگی نوترونی و فوتونی عنصرهای ذکر شده اختلاف زیادی با یکدیگر

تابش نوترون بروی فیلم

$G = \text{گرادیان متوسط منحنی مشخصه فیلم}$

$t_i, t_j = \text{ضخامت قطعات } i \text{ و } j$

$B_{i,j}^{\gamma}, B_{i,j}^n = \text{فاکتورهای تولید و انباشت قطعه زام ناشی از پرتوهای نوترون و گاما}$

$\Sigma_i, \mu_i = \text{سطح مقاطع کل نوترونی و فوتونی قطعه زام و به همین ترتیب برای قطعه زام}$

اگر بتوانیم رابطه‌ای تجربی برای وابستگی مقادیر B با سطح مقطعه‌ای عناصر بیابیم می‌توانیم با داشتن مقادیر کنتراست، که به وسیله چگالی سنج نوری از روی فیلم بدست می‌آید و با داشتن ضخامت اجسام و مقادیر معلوم برای قطعه i ، مقادیر مربوطه به قطعه j را بدست آوریم. اگر از قطعات کم ضخامت استفاده کنیم می‌توانیم تقریباً مقادیر B را واحد فرض کنیم، در این صورت رابطه‌ای بدست خواهد آمد که به شکل زیر خلاصه می‌شود:

(۲)

$$|c_{i,j}^{\gamma}| - |c_{i,j}^n| = 0.43 G \{(\sum_i \mu_i) t_i - (\sum_j \mu_j) t_j\}$$

حال اگر با استفاده از جداول مقدار μ را برای انرژی متوسط $1/5 \text{ MeV}$ بدست آوریم مقدار \sum برای قطعه زام که در معادله (۲) مجهول می‌باشد بدست خواهد آمد.

در حالتی که ضخامت اجسام به اندازه‌ایست که نمی‌توان فرض $1 = B$ را بکار برد، در آن صورت با

با توجه به این مطالعه، آزمایشی ترتیب داده شد تا بتوان تغییرات کیفیت تمایز (کنتراست) فیلم را برای مواد انتخابی در زمانهای متفاوت نسبت به سطح مقطعه‌ای نوترونی و ضرایب تضعیف برای اشعه گاما مشاهده کرد. این تغییرات در شکلهای ۲ و ۳ نشان داده شده است. از مشاهدات چنین بر می‌آید که در پرتوگاری نوترونی هر چه سطح مقاطع جذب نوترون نسبت به سطح مقاطع پراکندگی آن بیشتر باشد (یعنی $\Sigma < \Sigma_s$) تغییرات کیفیت تمایز تصویر بیشتر خواهد شد. مثلاً ماده پلی‌اتیلن با سطح مقاطع پراکندگی زیاد و در نتیجه داشتن فاکتور تولید و انباشت بالا دارای تغییرات کنتراست اندک است. در این ماده $\Sigma_s > \Sigma$ است. بنابراین، می‌توان نتیجه گرفت که هر چه $\Sigma_s < \Sigma$ باشد تفکیک پذیری قطعات نسبت به یکدیگر بیشتر خواهد بود.

برای هر جفت (i, j) از نمونه‌های انتخابی به هنگام پرتوگاری با پرتوهای مرکب از نوترون و گاما معادله‌ای به صورت زیر استخراج شده است [۱]:

(۱)

$$|c_{i,j}^{\gamma}| - |c_{i,j}^n| = 0.43 G \left\{ \ln \left(\frac{B_{i,j}^{\gamma}}{B_{j,i}^n} \right) + \{(\sum_i \mu_i) t_i - (\sum_j \mu_j) t_j\} \right\}$$

که مؤلفه‌های آن بترتیب عبارتند از:

$|c_{i,j}^{\gamma}| = \text{قدر مطلق کنتراست دو قطعه } i \text{ و } j \text{ ناشی از تابش پرتوگاما بروی فیلم}$
 $|c_{i,j}^n| = \text{قدر مطلق کنتراست دو قطعه } i \text{ و } j \text{ ناشی از}$

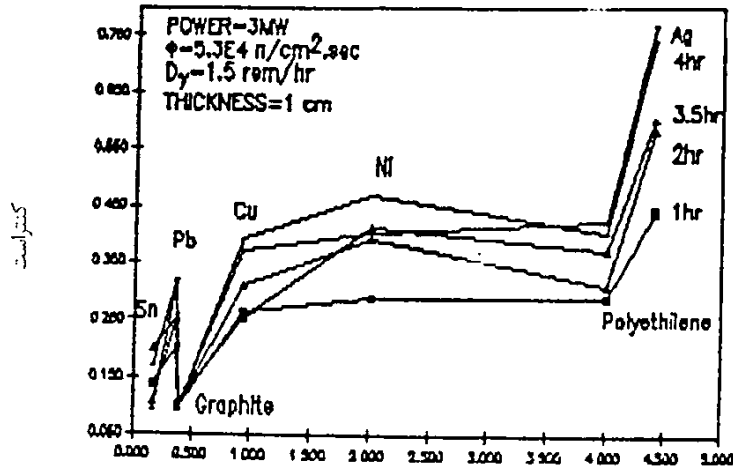
بدست آوردن مقادیر B برای عناصر مختلف و

$$|\varphi_j| - |\varphi_{ij}| \approx \frac{e}{4} G [(\sum_{ii} - \sum_{ij}) - (\mu_i - \mu_j)]$$

این معادله نشان می‌دهد که در پرتونگاری، سطح مقطعهای جذب عناصر عامل اصلی تشکیل پرتونگاشت است.

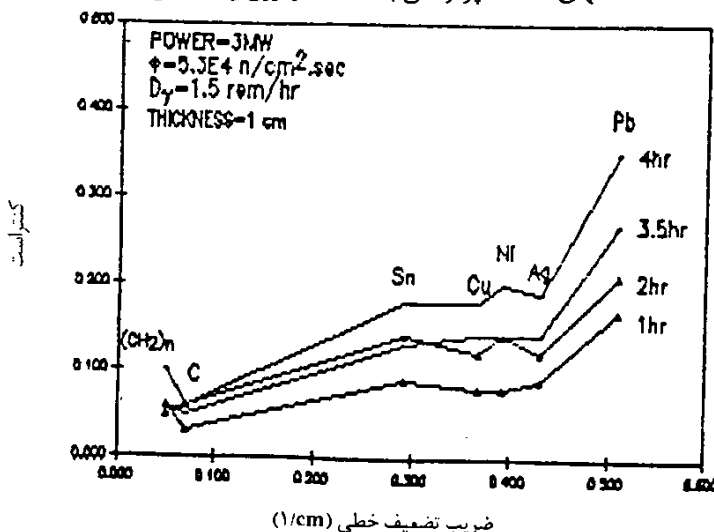
توسط برنامه کامپیوتی نوشته شده [۱] و بدست آوردن رابطه آن با Σ می‌توان رابطه‌ای تجربی بصورت $\log B \approx \frac{e}{4} \Sigma$ که از روی منحنی شکل ۴ استخراج شده است، بدست آورد.

با قرار دادن این رابطه در معادله (۲) و با فرض اینکه ضخامتها برابر واحد است این رابطه نهایی را می‌توان بدست آورد:



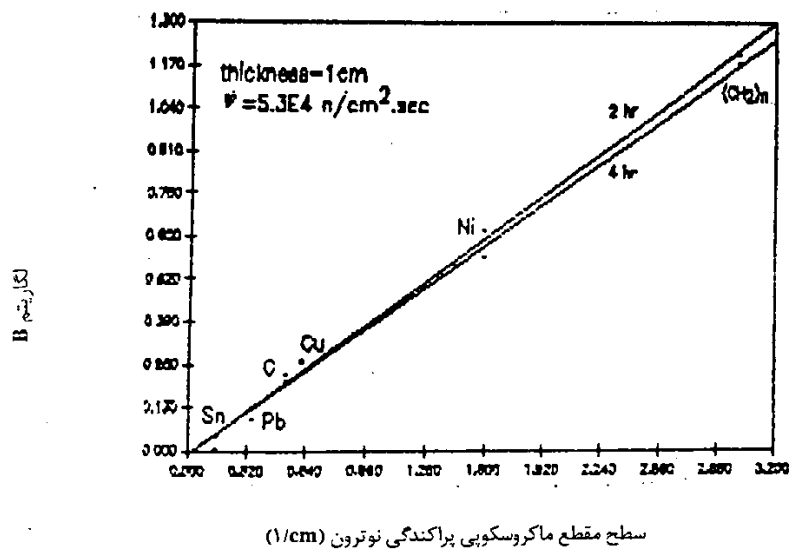
سطح مقطع ماکروسکوپی کل (μ/cm^2)

شکل ۲- تغییرات کنتراست بر حسب تغییرات سطح مقطع کل برای چند عنصر در مدتها مختلف پرتودهی با دستگاه نوترون رادیوگرافی



ضریب تضعیف خطی (μ/cm)

شکل ۳- تغییرات کنتراست بر حسب تغییرات ضریب تضعیف خطی برای چند عنصر در مدتها مختلف پرتودهی با دستگاه نوترون رادیوگرافی



شکل ۴- تغییرات لگاریتم B بر حسب سطح مقطع پراکندگی نوترون برای چند عنصر

حاصل از پرتونگاری با چشممه $C_{0.60}$ معلوم شد که عمل تشديد را می‌توان برای این انرژی با ورقه سربی 0.05 mm میلیمتری انجام داد. بنابراین با قراردادن چنین لایه سربی می‌توانیم گاماهای کم انرژی را حذف و گاماهای با انرژی متوسط را تشید کنیم و پرتونگاشت گاما را بدست آوریم. در این صورت مقدار 7.7% از طریق چگالی سنجی فیلم بدست خواهد آمد. در مورد پرتونگاری نوترونی، با قراردادن مبدل گادولینیوم و حذف لایه سربی می‌توانیم تصویر نوترونی قطعات را بدست آوریم؛ در نتیجه مقدار 7.7% نیز با روش چگالی سنجی نوری بدست خواهد آمد. بدین ترتیب، تغییرات کنتراست نوترونی و گامایی $|z_i| - |z_j|$ برای جفت قطعات انتخابی ارزش جدول ۱، دیده می‌شوند. در واقع با داشتن مقدار بدست آمده از آزمایش

بحث و بررسی نتایج

برای اطمینان از درستی رابطه (۱)، جفت عناصر انتخابی در جدول ۱، به کمک آزمایش‌های تجربی مورد بررسی قرار گرفتند. بطوریکه مشاهده می‌شود، تغییرات کنتراست بدست آمده از رابطه (۱) (که در واقع باداشتن مقادیر معلوم مانند $\sum t$ محاسبه می‌شوند) با مقادیر بدست آمده از طریق آزمایش همان $|z_i| - |z_j|$ است) در حد خطاهای آزمایش همخوانی دارد.

بدست آوردن تصویر حاصل از پرتونگاری گاما ایجاد می‌کند که مانع از تصویرسازی نوترونها برروی فیلم شویم. برای این منظور مبدل گادولینیوم را از مجموعه حذف می‌کنیم. با اندازه گیری دز گاما و طیف آن متوجه می‌شویم که انرژی متوسط پرتوهای گاما در طیف اصلی حدود $1/5 \text{ Mev}$ است. با تجارت

اگر مقدار \bar{z} در معادله مجھول باشد با داشتن مقادیر معلوم دیگر می‌توان آن را حساب کرد.

برای طرف چپ معادله (۱)، می‌توانیم مقدار مجھول طرف راست معادله را حساب کنیم. به عنوان مثال،

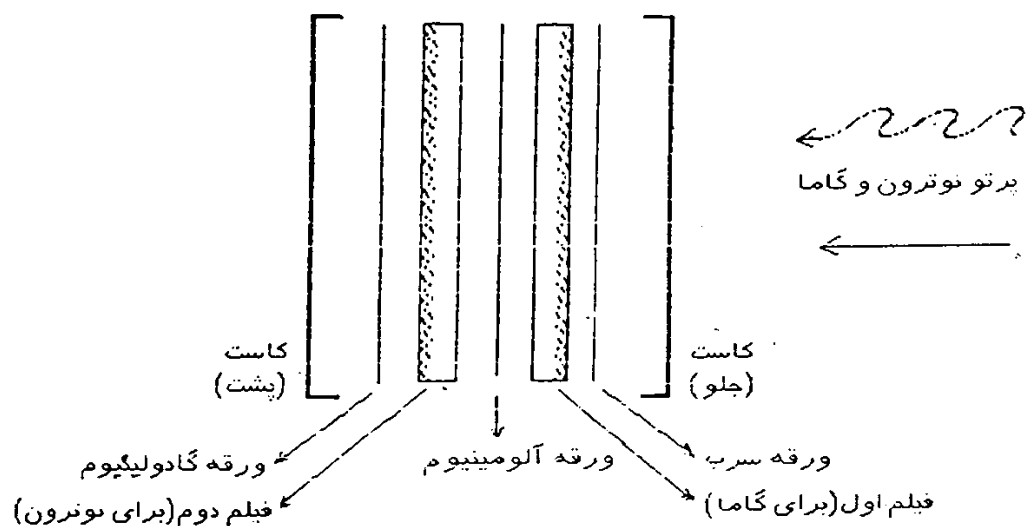
جدول ۱- مقادیر بدست آمده از روش چگالی‌سنجدی و از معادله ارائه شده

Sn, C	Sn, Cu	C, $(CH_2)_n$	Cu, Ni	Pb, $(CH_2)_n$	Pb, Cu	i, j
-0/01	-0/11	-0/25	-0/15	-0/28	-0/1	تغییرات کنترال است بدست آمده از آزمایش $ \frac{c_i}{c_j} - \frac{c_i}{c_j} $
-0/005	-0/14	-0/28	-0/17	-0/26	-0/13	تغییرات کنترال است بدست آمده از طرف راست (رابطه (۱))

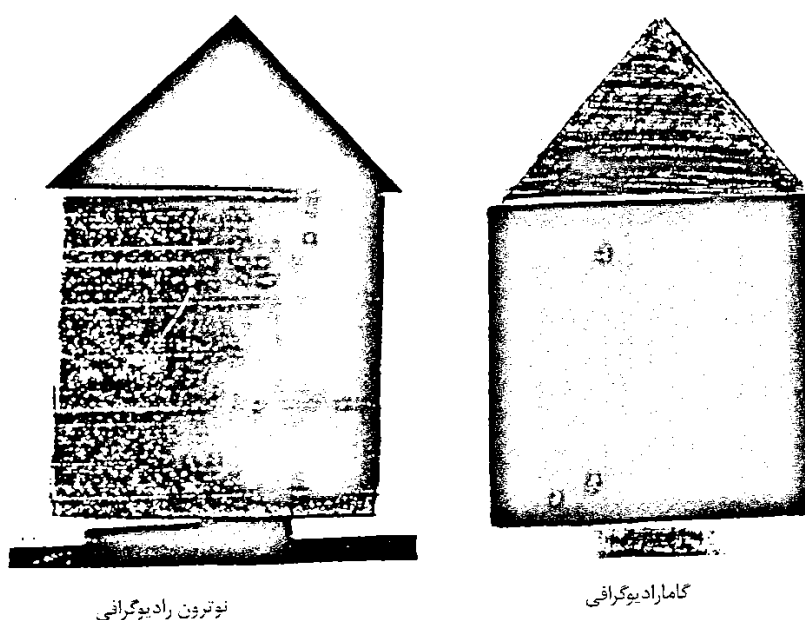
تولید شده توسط هر یک از مبدلها که ممکن است بر روی فیلم دیگر اثر بگذارند ضروریست. نمونه‌ای از دو پرتونگاشت نوترونی و گاما ای که از دو قطعه مربعی شکل سربی و مثلثی شکل پلی‌اتیلنی با استفاده از مجموعه شکل ۵، به طور همزمان گرفته شده است در شکل ۶ مشاهده می‌شود. همانطور که از این شکل پیدا است دو تصویر نوترونی و گاما ای کاملاً متفاوتند و این، به علت متفاوت بودن برهمکنشهای نوترون و گاما با مواد سرب و پلی‌اتیلن است. با استفاده از این روش نه تنها نیاز به چشممه گاما ای جداگانه نیست، بلکه تفسیر فیلم نیز برای پرتونگارها آسانتر می‌شود.

انجام گرفتن این آزمایشها، رهنمون ما به تصویرگیری نوترونی و گاما ای بطور همزمان شد. براساس این اندیشه، با تنظیم مجموعه‌ای مطابق شکل ۵، توانستیم به طور همزمان دو پرتونگاشت نوترونی و گاما ای از یک جسم بدست آوریم. در این شکل، لایه سربی در مقابل کاست عمل تشدید را برای گاما انجام می‌دهد و الکترونهای آزاد شده از ورقه سرب بر روی فیلم اول تصویر پرتونگاری گاما را ایجاد می‌کنند و ورقه گادولینیومی کار تصویرسازی نوترونی را انجام می‌دهد. چون در هر دو مورد، تصویرسازی توسط الکترونهای انجام می‌گیرد قرار دادن یک ورقه آلومینیومی برای جذب الکترونهای

محمد مهدی ناصری و کیومرث کمالی مقدم، تعیین پارامترهای مؤثر در شناخت جنس نمونه ناشناخته با پرتونگاری همزمان نوترون و گاما



شکل ۵- مجموعه استفاده شده برای انجام پرتونگاری همزمان نوترون و گاما



شکل ۶- پرتونگاشت تهیه شده از دو قطعه مربعی شکل سربی و مشابه شکل پلی اتیلنی
به روش پرتونگاری همزمان

References

- ۱- محمد مهدی ناصری، گاما رادیوگرافی با چشممه ۶۰ - Co و مقایسه آن با نوترون گرافی، پایان نامه کارشناسی ارشد، (۱۳۷۵).
2. Von de Hardt, H. Rottger, "Neutron Radiography Handbook" D. Reidel Publishing,, Holland (1981).
3. Halmshaw "Physics of Industrial Radiology" Iliffe Books Ltd. London (1966).
4. A. Richard Quin, C. Claire Single, "Radiography in Modern Industy" Eastman Kodak Company (1980).

DETERMINATION OF CHARACTERISTIC PARAMETERS, FOR RECOGNITION OF UNKNOWN OBJECT WITH SIMULTANEOUS NEUTRON AND GAMMA RADIOGRAPHY

*M.M. Nasser, K. Kamali Moghadam
Nuclear Research Center
Atomic Energy Organization of Iran*

Abstract

Generally speaking in customary industrial and medical radiography, there is no tendency to reveal the nature of the objects. In radiography the main objects of taking a radiogram is to show the position and dimension of unknown parts, inside the test object and to find out the cracks, defects, etc. Whereas in radiography a lots of important factors such as type and energy of exposure, energy spectrum, material cross section, type of collision, etc. are also involved.

In this paper, by using neutron radiography facility at Tehran Research Reactor, some of these factors are being investigated. we developed some mathematical relations that helped us in recognition of internal structure of test objects. On testing, experimentally, the correctness of these relations, a new technique of simultaneous neutron and gamma radiography was also elucidated.

